

© 2016 г. Е.Р. ГАФАРОВ, канд. физ.-мат. наук (axel73@mail.ru)  
(Институт проблем управления им. В.А. Трапезникова РАН, Москва)

## ГРАФИЧЕСКИЙ МЕТОД РЕШЕНИЯ ЗАДАЧ КОМБИНАТОРНОЙ ОПТИМИЗАЦИИ<sup>1</sup>

Предлагается графический метод решения задач комбинаторной оптимизации, которые допускают декомпозицию и использование принципа оптимальности Беллмана при их решении. В отличие от алгоритмов динамического программирования, использующих тот же принцип, в графическом алгоритме все возможные состояния системы рассматриваются не отдельно, а группами. Это становится возможным, если принимать во внимание аналитический вид целевой функции, т.е. работать с “графиком” функции, преобразовывая его на каждой стадии аналитически. Графический метод позволяет значительно сократить трудоемкость решения некоторых задач и строить эффективные аппроксимационные схемы. Результаты численных экспериментов свидетельствуют об эффективности графического метода.

### 1. Введение

Графический метод является модификацией метода динамического программирования, т.е. использует тот же декомпозиционный подход к решению задач комбинаторной оптимизации.

Словосочетание “динамическое программирование” впервые было использовано в 1940-х гг. Р. Беллманом [1] для описания процесса нахождения решения задачи, где ответ на одну задачу может быть получен только после решения задачи, “предшествующей” ей. Идея метода динамического программирования заключается в следующем. Задачу разбивают на подзадачи, решают их, используя декомпозицию, и потом объединяют решения подзадач в одно общее решение. В процессе декомпозиции возникает множество идентичных подзадач, из которых решается только одна, что позволяет сократить объем вычислений.

Наряду с методом ветвей и границ, метод динамического программирования чаще всего используется для решения задач комбинаторной оптимизации.

Известно [2], что для Задачи о ранце все алгоритмы ветвей и границ с полиномиальными алгоритмами расчета верхних и нижних оценок имеют трудоемкость не меньше  $\frac{3}{2} \frac{2^{n+3/2}}{\sqrt{\pi(n+1)}}$ , т.е.  $2^{O(x)}$  операций, где  $n$  — количество предметов, а  $x$  — длина входа. По сути, такие алгоритмы ветвей и границ не сильно отличаются по трудоемкости от полного перебора, имеющего экспоненциальную трудоемкость. Аналогичные результаты получены и для других задач.

<sup>1</sup> Работа выполнена при финансовой поддержке Российского фонда фундаментальных исследований (проекты №№ 13-01-12108, 13-08-13190, 15-07-03141, 15-07-07489).

В 2010 г. О’Нил в [3] показал, что широко известная модификация метода динамического программирования позволяет решать многие классические задачи за субэкспоненциальное время  $2^{O(\sqrt{x})}$ .

Таким образом, на данный момент с теоретической точки зрения метод динамического программирования является более перспективным по сравнению с методом ветвей и границ и другими точными методами решения, и его развитие является оправданным. Графический метод, идея которого впервые представлена в [4], является одним из возможных направлений развития.

Будем обозначать алгоритм динамического программирования через DPA (Dynamic Programming Algorithm), а графический алгоритм — GrA (Graphical Algorithm). В DPA на каждом шаге (на каждой стадии)  $j$  вычисляются значения некоторой функции  $F_j(t)$  для каждого возможного значения аргумента  $t$  (для каждого состояния) процесса принятия решения, где  $t \in [0, C]$  и  $t \in Z$ . Будем называть функцию  $F_j(t)$  функцией Беллмана. Фактически эта функция соответствует значениям целевой функции для подзадачи размерности  $j$ , если она решается в условиях (при состоянии системы)  $t$ . На практике DPA реализуется в режиме “калькулятора”, т.е. перебираются все состояния  $t \in [0, C]$  и  $t \in Z$ , для каждого состояния проводятся несложные вычисления, и полученное значение  $F_j(t)$  записывается в ячейку памяти (в таблицу). Эти  $C$  числовых значений используются на следующем шаге  $j + 1$ . Однако часто отпадает необходимость в вычислении (и сохранении в памяти) значения  $F_j(t)$  для каждой точки  $t$ . Может оказаться, что на некотором интервале  $[t_l, t_{l+1})$  вычисляемая функция представима аналитически в виде  $F_j(t) = \varphi(t)$  (например,  $F_j(t) = k \cdot t + b$ , т.е. функция  $F_j(t)$  определена в том числе для нецелых значений аргумента  $t$ ). Тогда процесс вычисления функции  $F_{j+1}(t)$  на шаге  $j + 1$  можно организовать таким образом, чтобы учитывать не отдельные значения  $F_j(t)$ , а преобразовывать функцию  $F_j(t)$  в  $F_{j+1}(t)$  аналитически, согласно заданным рекурсивным уравнениям Беллмана.

Пусть для некоторой проблемы минимизации целевого функционала заданы рекурсивные уравнения Беллмана:

$$(1) \quad F_j(t) = \min \begin{cases} \Phi^1(t) = \alpha_j^1(t) + F_{j-1}(t - a_j^1), & j = 1, 2, \dots, n, \\ \Phi^2(t) = \alpha_j^2(t) + F_{j-1}(t - a_j^2), & j = 1, 2, \dots, n, \\ \dots & \dots \\ \Phi^{k_j}(t) = \alpha_j^{k_j}(t) + F_{j-1}(t - a_j^{k_j}), & j = 1, 2, \dots, n, \end{cases}$$

с начальными условиями:

$$(2) \quad \begin{aligned} F_0(t) &= 0, & \text{для } t \geq 0, \\ F_0(t) &= +\infty, & \text{для } t < 0. \end{aligned}$$

В (1) значения  $a_j^k$ ,  $k = 1, \dots, k_j$ , будем называть “стратегиями”, определенными для данного элемента системы  $j$ . Каждой стратегии  $a_j^k$ ,  $k = 1, \dots, k_j$ , соответствует функция  $\Phi_j(t)$  и значение переменной  $x_j = x_j^k$ , участвующей в итоговом решении. Переменная  $x_j$  — управляемый параметр на шаге  $j$  процесса. Трудоемкость DPA для такой системы уравнений равна  $O(\sum_{j=1}^n k_j C)$ .

**Таблица 1.** Вычисления в DPA

$t$	0	1	2	...	$y$	...	$C$
$F_j(t)$	$value_0$	$value_1$	$value_2$	...	$value_y$	...	$value_C$
частичное оптимальное решение $X(t)$	$X(0)$	$X(1)$	$X(2)$	...	$X(y)$	...	$X(C)$

**Таблица 2.** Вычисления в GrA

$t$	$[t_0, t_1]$	$[t_1, t_2]$	...	$[t_l, t_{l+1}]$	...	$[t_{m_j-1}, t_{m_j}]$
$F_j(t)$	$\varphi_1(t)$	$\varphi_2(t)$	...	$\varphi_{l+1}(t)$	...	$\varphi_{m_j}(t)$
частичное оптимальное решение $X(t)$	$X(t_0)$	$X(t_1)$	...	$X(t_l)$	...	$X(t_{m_j-1})$

Для задач с булевыми переменными, таких как Задача о ранце или Задача разбиения, для некоторых одноприборных задач теории расписаний [4–6] выполняется  $k_j = 2$ ,  $j = 1, \dots, n$  и  $x_j^1 = 1$ ,  $x_j^2 = 0$ . Если в таких задачах вычисление DPA необходимо провести на каждом шаге  $j = 1, 2, \dots, n$ , где  $n$  размерность задачи, то трудоемкость DPA обычно равна  $O(nC)$ . Переменная  $x_j$  — для Задачи о ранце имеет интерпретацию “включать или не включать предмет в ранец”. На шаге  $j$ ,  $j = 1, 2, \dots, n$ , DPA вычисляются и сохраняются в памяти компьютера данные, представленные в табл. 1.

В табл. 1  $X(y)$ ,  $y = 0, 1, \dots, C$ , — вектор, описывающий частичное оптимальное решение, который состоит из  $j$  элементов (значений)  $x_1, x_2, \dots, x_j$ . Та же самая информация иногда может быть представлена в виде, приведенном в табл. 2, где  $0 = t_0 < t_1 < t_2 < \dots < t_{m_j} = C$ . Точки  $t_1, \dots, t_{m_j}$  будем называть *точками излома*, так как в них изменяется уравнение, задающее функцию  $F_j(t)$ .

Для вычисления функции  $F_{j+1}(t)$  в GrA необходимо сравнить промежуточные функции  $\Phi^1(t), \dots, \Phi^{k_{j+1}}(t)$ , которые определяются следующим образом.

Функция  $\Phi^k(t)$  является комбинацией двух функций  $\alpha_{j+1}^k(t)$  и  $F_j(t - a_{j+1}^k)$ . Функция  $F_j(t - a_{j+1}^k)$  имеет ту же структуру, что и в табл. 2, но где каждый интервал  $[t_l, t_{l+1})$  заменен на интервал  $[t_l - a_{j+1}^k, t_{l+1} - a_{j+1}^k)$ , что означает смещение графика функции  $F_j(t)$  вправо на величину  $a_{j+1}^k$ . Если функцию  $\alpha_{j+1}^k(t)$  можно представить в той же форме, что и в табл. 2 с  $\mu_k$  столбцами, то можно сохранить функцию  $\Phi^k(t)$  в памяти компьютера в той же форме, что и в табл. 2, но с  $m_j + \mu_k$  столбцами. Здесь  $\mu_k$  — количество интервалов, на каждом из которых функция  $\alpha_{j+1}^k(t)$ ,  $k = 1, \dots, k_{j+1}$ , задается некоторым фиксированным уравнением от  $t$ .

Функция  $F_{j+1}(t) = \min\{\Phi^1(t), \dots, \Phi^{k_{j+1}}(t)\}$  вычисляется следующим образом. Пусть таблица, которой задана функция  $\Phi^k(t)$ , содержит интервалы (столбцы)

$$[t_0^k, t_1^k), [t_1^k, t_2^k), \dots, [t_{(m_j+\mu_k)-1}^k, t_{(m_j+\mu_k)}^k], \quad k = 1, \dots, k_j.$$

Для вычисления функции  $F_{j+1}(t)$  необходимо сравнить все функции  $\Phi^k(t)$ ,  $k = 1, \dots, k_j$ , на каждом интервале, сформированном точками

$$\left\{ t_0^k, t_1^k, t_2^1, \dots, t_{(m_j+\mu_k)-1}^k, t_{(m_j+\mu_1)}^k \mid k = 1, \dots, k_j \right\}.$$

На каждом из этих интервалов уравнение, задающее функцию  $\Phi^k(t)$ ,  $k = 1, \dots, k_j$ , неизменно, поэтому можно аналитически найти точки их пересечения и построить функцию минимума. Пусть  $\mu'$  – общее количество точек пересечения. Тогда в таблице, соответствующей функции  $F_{j+1}(t)$ , может быть  $M = k_{j+1}m_j + \sum_{i=1}^{k_{j+1}} \mu_i + \mu'$  интервалов. GrA можно построить таким образом, что все нецелочисленные точки излома будут исключены из таблицы  $F_{j+1}(t)$ . Например, если в таблице присутствуют два интервала  $[t_{k-1}, t_k)$  и  $[t_k, t_{k+1})$ , где  $t_k \notin Z$ , то можно заменить интервалы на  $[t_{k-1}, \lfloor t_k \rfloor]$  и  $[\lfloor t_k \rfloor + 1, t_{k+1})$  и учитывать полученный разрыв на последующих шагах. Тогда  $M \leq C$ . Фактически на каждом шаге  $j$ ,  $j = 1, 2, \dots, n$ , графического алгоритма не рассматриваются все точки  $t \in [0, C]$ ,  $t \in Z$ , а рассматриваются только те точки, в которых меняется оптимальное частичное решение или меняется аналитический вид функции  $F_j(t)$ . Для некоторых задач (для некоторых целевых функций), количество таких точек  $M$  небольшое, поэтому графический алгоритм имеет трудоемкость  $O(\sum_{j=1}^n k_j \min\{C, M\})$  операций вместо  $O(\sum_{j=1}^n k_j C)$  операций, как в алгоритме динамического программирования.

Более того, GrA имеет следующие преимущества перед DPA:

- с помощью GrA можно решать примеры с нецелочисленными параметрами;
- время работы GrA в двух примерах с множеством числовых параметров  $P$  и множеством параметров  $\{b \cdot 10^l \pm 1 \mid b \in P\}$ ,  $k > 1$ , совпадает, в то время как время работы DPA будет в  $10^l$  раз больше во втором примере, т.е. с помощью GrA, можно решать примеры “большого масштаба”;
- принимаются во внимание внутренние свойства задачи (например, для Задачи о ранце, может оказаться, что предмет с наименьшей удельной стоимостью не оказывает влияния на функцию Беллмана);
- известно, что GrA для некоторых задач имеет полиномиальную трудоемкость, в то время как исходный алгоритм DPA – псевдополиномиальную, или GrA существенно сокращает трудоемкость DPA [5].

Необходимо отметить, что для некоторых примеров рассмотренных задач трудоемкость GrA равна трудоемкости DPA. Можно привести примеры задач с нецелочисленными параметрами, для которых трудоемкость GrA является экспоненциальной [4].

В последующих разделах представлены более детальные описания GrA для некоторых одноприборных задач теории расписаний и для задачи об инвестициях.

## 2. Графический метод решения некоторых задач теории расписаний

Рассматриваемые в данном разделе задачи формулируются следующим образом. На одном приборе необходимо обслужить множество  $N = \{1, 2, \dots$

$\dots, n\}$  из  $n$  требований. Прерывания в обслуживании требований не допускаются. Прибор обслуживает одновременно не более одного требования. Все требования поступают на обслуживание в нулевой момент времени. Для каждого требования  $j \in N$  заданы продолжительность обслуживания  $p_j > 0$ , вес  $w_j > 0$  и директивный срок  $d_j > 0$ , к которому в идеале требование должно быть обслужено.

Допустимое решение представимо в виде перестановки  $\pi = (j_1, j_2, \dots, j_n)$  требований из множества  $N$ . Перестановка задает порядок обслуживания требований на приборе. Пусть  $C_{j_k}(\pi) = \sum_{l=1}^k p_{j_l}$  — время завершения обслуживания требования  $j_k$  в расписании, полученном из перестановки  $\pi$ . Если  $C_j(\pi) > d_j$ , тогда требование  $j$  запаздывает, если же  $C_j(\pi) \leq d_j$ , то требование  $j$  не запаздывает. Пусть  $T_j(\pi) = \max\{0, C_j(\pi) - d_j\}$  — запаздывание требования  $j$  при расписании, полученном из перестановки  $\pi$ , и пусть  $GT_j(\pi) = \min\{\max\{0, C_j(\pi) - d_j\}, p_j\}$ .

Для задачи минимизации взвешенного запаздывания  $1 \parallel \sum w_j T_j$  необходимо найти оптимальную перестановку (расписание)  $\pi^*$ , которая минимизирует функцию  $F(\pi) = \sum_{j=1}^n w_j T_j(\pi)$ . Аналогично для задачи минимизации суммарного запаздывания  $1 \parallel \sum T_j$  необходимо минимизировать  $F(\pi) = \sum_{j=1}^n T_j(\pi)$ . Для обобщенной задачи запаздывания  $1 \parallel \sum GT_j$  целевая функция  $F(\pi) = \sum_{j=1}^n GT_j(\pi)$ . Рассматриваются также следующие задачи и частные случаи:

- минимизация взвешенного суммарного запаздывания при одинаковом директивном сроке  $d_j = d$ ,  $j = 1, 2, \dots, n$ . Обозначим данную проблему  $1 \parallel d_j = d \parallel \sum w_j T_j$ ;
- специальный случай  $B-1$  задачи минимизации суммарного запаздывания  $1 \parallel \sum T_j$ , где  $p_1 \geq p_2 \geq \dots \geq p_n$ ,  $d_1 \leq d_2 \leq \dots \leq d_n$  и  $d_n - d_1 \leq p_n$ ;
- специальный случай  $B-1G$  задачи  $1 \parallel \sum T_j$ , где  $d_{\max} - d_{\min} \leq p_{\min}$ ,  $d_{\max} = \max_{j \in N} \{d_j\}$ ,  $d_{\min} = \min_{j \in N} \{d_j\}$  и  $p_{\min} = \min_{j \in N} \{p_j\}$ ;
- задача максимизации взвешенного суммарного запаздывания  $1(no - idle) \parallel \max \sum w_j T_j$ , в которой при любом допустимом расписании требования обслуживаются без простоев с нулевого момента времени;
- частный случай предыдущей задачи, где  $w_j = 1$ ,  $j = 1, 2, \dots, n$ , обозначаемый  $1(no - idle) \parallel \max \sum T_j$ .

Все перечисленные задачи и частные случаи (кроме задачи  $1(no - idle) \parallel \max \sum T_j$ ) являются NP-трудными в обычном смысле. Ссылки на результаты об их сложности представлены, например, в [6, 7].

Для частного случая  $B-1$  могут быть выписаны следующие уравнения Беллмана [7]:

$$(3) \quad F_j(t) = \min \begin{cases} \Phi^1(t) = \max\{0, t + p_j - d_j\} + F_{j-1}(t + p_j), & j = 1, 2, \dots, n, \\ \Phi^2(t) = \max\left\{0, t + \sum_{i=1}^j p_i - d_j\right\} + F_{j-1}(t), & j = 1, 2, \dots, n. \end{cases}$$

**Таблица 3.** Функция  $F_j(t)$  в GrA для случая  $B - 1$

$k$	1	2	...	$m_j + 1$
интервал $k$	$(-\infty, t_j^1]$	$(t_j^1, t_j^2]$	...	$(t_j^{m_j}, +\infty)$
$b_j^k$	0	$b_j^2$	...	$b_j^{m_j+1}$
$u_j^k$	0	$u_j^2$	...	$u_j^{m_j+1}$
$\pi_j^k$	$\pi_j^1$	$\pi_j^2$	...	$\pi_j^{m_j+1}$

Начальные условия те же. При этом требования перенумерованы согласно правилу  $p_1 \leq p_2 \leq \dots \leq p_n$ . Состояние системы  $t$  означает момент времени, с которого начнется обслуживание подмножества требований  $\{1, \dots, j\}$ . Функции  $\Phi_1$  соответствует выбор  $x_j = 0$ , т.е. требование  $j$  ставится в конец частичного расписания (перестановки из требований подмножества  $\{1, \dots, j\}$ ), а функции  $\Phi_2$  – выбор  $x_j = 1$ , т.е. требование  $j$  ставится в начало расписания.

Для всех вышеупомянутых задач функции Беллмана являются кусочно-линейными непрерывными возрастающими функциями, т.е. на каждом интервале функцию Беллмана можно описать с помощью двух числовых параметров — наклон прямой и значение функции в начале интервала. Тогда функции  $F_j(t)$  можно хранить в виде, показанном в табл. 3.

Записи в табл. 3 означают следующее. Для каждого значения  $t \in (t_j^{k-1}, t_j^k]$  оптимальным будет частичное расписание  $\pi_j^k$ , в котором  $u_j^k$  запаздывающих требований (наклон функции) и которому соответствует значение функции Беллмана  $F_j(t) = u_j^k \cdot (t - t_j^{k-1}) + b_j^k$ . При этом  $b_j^1 < b_j^2 < \dots < b_j^{m_j+1}$ .

Чтобы построить функцию  $\Phi^1(t)$ , нужно сместить график функции  $F_{j-1}(t)$  влево на  $p_j$  единиц и вычислить точку (состояние)  $t' = d_j - p_j$ , начиная с которой требование  $j$  начинает запаздывать. Поместить эту точку в таблицу смещенной функции  $F_{j-1}(t)$  и для всех столбцов, где  $t > t'$ , увеличить наклон на единицу. Чтобы построить функцию  $\Phi^2(t)$ , нужно вычислить точку (состояние)  $t'' = d_j - \sum_{i=1}^j p_i$ , начиная с которой требование  $j$  начинает запаздывать. Поместить эту точку в таблицу функции  $F_{j-1}(t)$  и для всех столбцов, где  $t > t''$ , увеличить наклон на единицу. Соответственно чтобы найти  $F_j(t) = \min\{\Phi^1(t), \Phi^2(t)\}$ , придется рассмотреть не более  $2(m_j + 1) + 2$  интервалов.

Оба алгоритма, GrA и DPA, основанные на данном принципе оптимальности, имеют одинаковую трудоемкость  $O(nd_{\max})$ ,  $d_{\max} = \max_{j \in N} d_j$ , так как для всех состояний системы  $t > d_{\max}$ ,  $x_j = 1$  [7].

Для задачи  $1(no - idle) \parallel \max \sum w_j T_j$  могут быть выписаны следующие уравнения Беллмана [7]:

$$(4) \quad F_j(t) = \max \begin{cases} \Phi^1(t) = w_j \max \{0, t + p_j - d_j\} + F_{j-1}(t + p_j), & j = 1, 2, \dots, n, \\ \Phi^2(t) = w_j \max \left\{ 0, t + \sum_{i=1}^j p_i - d_j \right\} + F_{j-1}(t), & j = 1, 2, \dots, n. \end{cases}$$

Так как функции  $\alpha_j(t)$  являются выпуклыми и решается задача максимизации, т.е.  $F_j(t) = \max\{\Phi^1(t), \Phi^2(t)\}$ , то функция  $F_j(t)$  также является выпуклой. Преобразования функции  $F_j(t)$  в функции  $\Phi^1(t)$  и  $\Phi^2(t)$  выполняются аналогичным образом. Наклон при этом меняется не на единицу, а на значение  $w_j$ . Тогда функция  $F_j(t)$  задается не более  $\sum_{i=1}^j w_i$  столбцами [7] (так как функция возрастающая и выпуклая). Тогда трудоемкость GrA будет  $O(n \min\{d_{\max}, \sum w_j\})$ , что меньше трудоемкости DPA  $O(nd_{\max})$ . Более того, для частного случая  $1(no-idle) || \max \sum T_j$  выполняется равенство  $\sum w_j = n$  и GrA является полиномиальным в отличие от псевдо-полиномиального DPA.

Таким образом, с помощью GrA можно снизить трудоемкость решения некоторых одноприборных задач теории расписаний.

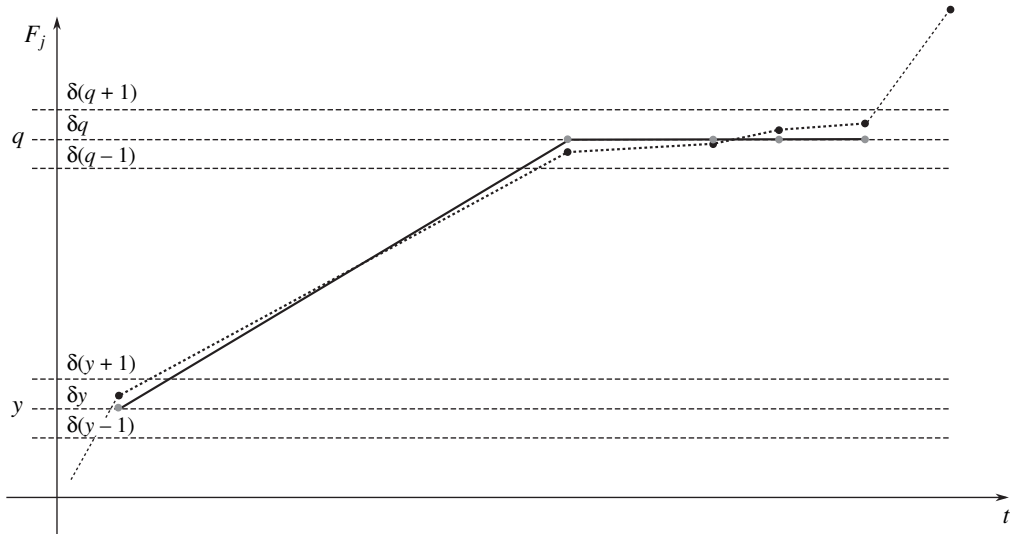
### 3. Аппроксимационные схемы решения, основанные на графическом методе

На основе графического метода легко построить FPTAS (fully-polynomial time approximation schema). Полиномиальный алгоритм, который для задач теории расписаний минимизации функции  $F(\pi)$  находит решение  $\pi'$  такое, что  $F(\pi')$  не более чем в  $\rho \geq 1$  раз больше  $F(\pi^*)$ , называется  $\rho$ -аппроксимационным алгоритмом. Значение  $\rho$  называется максимальной погрешностью. Если для задачи существует  $\rho$ -аппроксимационный алгоритм, то говорят, что задача аппроксимируема с относительной погрешностью  $\rho$ . Набор  $\rho$ -аппроксимационных алгоритмов называется полностью полиномиальной аппроксимационной схемой (fully polynomial-time approximation scheme – FPTAS), если  $\rho = 1 + \varepsilon$  для любого  $\varepsilon > 0$  и трудоемкость алгоритма полиномиально зависит только от размерности задачи и значения  $1/\varepsilon$ . Напомним, что проблемы NP-трудные в сильном смысле не имеют FPTAS, если  $P \neq NP$ .

Графический алгоритм может быть модифицирован в FPTAS следующим образом. Пусть рассматривается некоторая задача минимизации. Пусть  $\delta =$

Таблица 4. Сравнение трудоемкостей GrA, DPA и FPTAS, основанной на GrA [7]

Задача	Трудоемкость GrA	Трудоемкость FPTAS	Трудоемкость классического DPA
$1    \sum w_j U_j$ [7]	$O(\min\{2^n, n \cdot \min\{d_{\max}, F_{opt}\}\})$	–	$O(nd_{\max})$
$1   d_j = d'_j + A   \sum U_j$ [7]	$O(n^2)$	–	$O(n \sum p_j)$
$1    \sum GT_j$	$O(\min\{2^n, n \cdot \{d_{\max}, nF^*\}\})$	$O(n^2 \log \log n + \frac{n^2}{\varepsilon})$	$O(nd_{\max})$
$1    \sum T_j$ частный случай $B - 1$	$O(\min\{2^n, n \cdot \min\{d_{\max}, F^*\}\})$	$O(n^2/\varepsilon)$	$O(nd_{\max})$
$1    \sum T_j$ частный случай $B - 1G$	$O(\min\{2^n, n^2 \cdot \min\{d_{\max}, F^*\}\})$	$O(n^3/\varepsilon)$	$O(n^2 d_{\max})$
$1   d_j = d   \sum w_j T_j$	$O(\min\{2^n, n^2 \cdot \min\{d, F^*\}\})$	$O(n^3/\varepsilon)$	$O(n^2 d_{\max})$
$1(no-idle)    \max \sum w_j T_j$	$O(\min\{2^n, n \cdot \min\{d_{\max}, nF^*, \sum w_j\}\})$ [7]	$O(n^2 \log \log n + \frac{n^2}{\varepsilon})$	$O(nd_{\max})$
$1(no-idle)    \max \sum T_j$	$O(n^2)$ [5]	–	$O(nd_{\max})$



Аппроксимация функции  $F_j(t)$ .

$= \varepsilon LB/2n$ , где  $LB$  – некоторая известная нижняя оценка целевой функции. Пусть также известна верхняя оценка  $UB$  такая, что  $UB/LB$  не превышает некоторой константы  $c$ . Чтобы сократить трудоемкость GrA, необходимо сократить количество столбцов в таблицах  $F_j(t)$ , а количество этих столбцов равно количеству различных значений  $0 = b_j^1, b_j^2, b_j^3, \dots, b_j^{m_j+1}$  в таких столбцах. Можем рассматривать только те состояния системы (и интервалы), для которых  $F_j(t) < UB$ , так как остальные значения не влияют на целевую функцию. Тогда примем  $b_j^{m_j+1} < UB$ .

В таблице  $F_j(t)$  будем хранить не оригинальные значения  $b_j^k$ , а значения  $\overline{b_j^k}$ , являющиеся ближайшими к  $b_j^k$  значениями, делящимися без остатка на  $\delta$ . Существует не более чем  $UB/\delta = cn/\varepsilon$  различных значений  $\overline{b_j^k}$ . Тогда можно будет преобразовать таблицу функции  $F_j(t)$  в таблицу приближенной функции с не более чем  $2cn/\varepsilon$  столбцами. Причем для данной модифицированной функции  $F'(t)$  выполняется  $|F(t) - F'(t)| < \delta \leq \varepsilon F(\pi^*)/n$ . Если будем выполнять подобную аппроксимацию после каждой стадии GrA, то накопленная ошибка не превысит значения  $n\delta \leq \varepsilon F(\pi^*)$  и трудоемкость GrA будет  $O(\frac{n^2}{\varepsilon})$ . Таким образом, будет получена FPTAS.

Подробное описание данной аппроксимации имеется в [7]. На рисунке схематично представлена аппроксимация функции  $F_j(t)$ . В табл. 4 представлено сравнение трудоемкостей GrA, DPA и FPTAS, основанной на GrA для некоторых одноприборных задач теории расписаний.

#### 4. Графический алгоритм решения задачи распределения инвестиций

В данном разделе представлен графический алгоритм решения задачи распределения инвестиций. В задаче даны множество  $N$  из  $n$  потенциальных инвестиционных проектов и доступный объем инвестиций  $A > 0$ . Для



каждого проекта  $j$ ,  $j = 1, \dots, n$ , задана функция прибыли  $f_j(t)$ ,  $t \in [0, A]$ . Значение  $f_j(t')$  означает прибыль, полученную от проекта  $j$ , если в него инвестировать  $t'$  денежных единиц. Необходимо определить объемы инвестиций  $\tau_j \in [0, A]$ ,  $\tau_j \in Z$ , для каждого проекта  $j \in N$  такие, чтобы  $\sum_{j=1}^n \tau_j \leq A$  и значение  $\sum_{j=1}^n f_j(\tau_j)$  было максимальным. Будем считать, что все функции  $f_j(t)$ ,  $j = 1, \dots, n$ , являются неубывающими кусочно-линейными.

Данная задача может быть решена с помощью DPA [8] с использованием следующих уравнений Беллмана:

$$F_j(T) = \max_{t=0,1,\dots,T} \{f_j(t) + F_{j-1}(T-t)\}, \quad T = A, A-1, \dots, 1, \quad j = 1, \dots, n.$$

Трудоёмкость DPA –  $O(nA^2)$  операций. Очевидно, что функции  $f_j(t)$ ,  $j = 1, \dots, n$ , представимы в табличном виде с тремя строками, по аналогии с функциями  $F_j(t)$  в разделе 3. Трудоёмкость альтернативного DPA –  $O(\sum kA)$ , где  $\sum k$  – количество кусочно-линейных фрагментов функций  $f_j(t)$ ,  $j = 1, \dots, n$ .

Идея графического алгоритма заключается в следующем. Чтобы найти значение  $F_j(A)$ , необходимо на плоскости изобразить график функции  $F_j(A)$ , начинающийся в точке ноль, и график зеркальной функции  $f'_j(t)$ , перевернутый относительно оси  $F$  и смещенный вправо из точки ноль в точку  $A$ . Тогда несложно построить график функции максимума  $F'$  из функций  $F_j(A)$  и  $f'_j(t)$  и найти максимум данной функции на интервале  $[0, A]$ . Так как обе функции являются кусочно-линейными, то максимум достигается в точках  $t$ , соответствующих точкам излома двух функций. Для последующих состояний  $T$  системы также будут рассматриваться только точки, соответствующие точкам излома. Для нахождения  $F_j(A - \varepsilon)$  необходимо сместить график  $f'_j(t)$  влево на  $\varepsilon$ . Так как обе функции кусочно-линейные, то несложно задать каждой точке  $\Upsilon$  излома графиков некоторое уравнение  $-u_\Upsilon \cdot \varepsilon + b_\Upsilon$ , характеризующее изменение значения функции максимума  $F'$  при смещении графика  $f'_j(t)$ . Необходимо отслеживать точки, в которых эти уравнения меняются или “пересекаются”, чтобы определять уравнения, задающие  $F_j(T)$  на некотором интервале. Таким образом, можно найти уравнение прямой, задающей значения функции  $F_j(T)$  на интервале  $[A - \varepsilon, A]$ . Подробное описание GrA приведено в [8].

*Теорема.* GrA находит оптимальное решение для всех  $T \in [0, A]$ ,  $T \in Z$ , за время  $O(\sum kA)$ .

Несмотря на то что трудоёмкость GrA не меньше трудоёмкости DPA, GrA имеет ряд преимуществ, изложенных в разделе 2. На основе GrA предложена полностью полиномиальная схема приближенного решения задачи с меньшей известной трудоёмкостью среди аналогичных алгоритмов  $O(\frac{n \cdot \sum k}{\varepsilon}(1 + \log \log n))$ . Полученное таким алгоритмом приближенное значение целевой функции не более чем в  $1 + \varepsilon$  раз меньше оптимального значения.

## 5. Результаты экспериментальных исследований

Для некоторых одноприборных задач теории расписаний были проведены численные эксперименты с целью определения трудоёмкости GrA для при-

меров, параметры которых распределены по равномерному закону. Проводились следующие эксперименты.

Для задачи минимизации взвешенного количества запаздывающих требований для одного прибора  $1 || \sum w_j U_j$  [6] генерировались 2500 примеров для каждой размерности задачи  $n \in \{4, 5, \dots, 50\}$ , где  $p_j \in [0, 100]$ ,  $w_j \in [1, 100]$ , директивные сроки в интервале  $[0, \sum p_j]$ . Для каждого примера подсчитывалось количество точек излома в алгоритме GrA на всех стадиях. По результатам экспериментов суммарное количество точек излома не превышает  $n^2$  для всех рассмотренных примеров, т.е. трудоемкость алгоритма для рассмотренных примеров не превосходит  $O(n^3)$  операций.

Для задачи  $1(no - idle) || \max \sum w_j T_j$  проводились аналогичные эксперименты. Для каждой размерности задачи  $n \in \{20, 40, 60, 80, 100, 150, 200, \dots, 1000\}$  генерировались 10000 примеров, где  $p_j \in [0, 100]$ ,  $w_j \in [1, n]$ , директивные сроки в интервале  $[0, \sum p_j]$ . Для рассмотренных примеров среднее суммарное количество точек излома не превышает  $n^2$ . Максимальное количество точек излома для рассмотренных примеров меньше  $O(n^3)$ .

## 6. Заключение

Графический метод можно эффективно применять для решения задач комбинаторной оптимизации, для которых существует псевдополиномиальный алгоритм решения, основанный на принципе оптимальности Беллмана. Для многих одноприборных задач теории расписаний и для известных комбинаторных задач (Задача о ранце, Задача распределения инвестиций) графический метод позволяет существенно сократить трудоемкость по сравнению с классическими алгоритмами динамического программирования. Графический метод также позволяет генерировать аппроксимационные схемы с лучшей трудоемкостью среди известных псевдополиномиальных алгоритмов. Результаты экспериментальных исследований свидетельствуют об эффективности метода. Таким образом, графический метод имеет как теоретическое, так и практическое значения.

## СПИСОК ЛИТЕРАТУРЫ

1. *Bellman R.* Dynamic Programming, Princeton: Princeton Univ. Press, 1957.
2. *Posypkin M.A., Sigal I.Kh.* Speedup estimates for some variants of the parallel implementations of the branch-and-bound method // J. Math. Math. Physics. 2006. V. 46. No. 12. P. 2189–2202.
3. *O’Neil E.T., Kerlin S.* A Simple  $2^{O(\sqrt{x})}$  Algorithm for PARTITION and SUBSET SUM. 2010. <http://www.lidi.info.unlp.edu.ar/WorldComp2011-Mirror/FCS8171.pdf>
4. *Lazarev A.A., Werner F.* A Graphical Realization of the Dynamic Programming Method for Solving NP-Hard Combinatorial Problems // Comput. Math. Appl. 2009. V. 58. No. 4. P. 619–631.
5. *Gafarov E.R., Lazarev A.A., Werner F.* Transforming a Pseudo-Polynomial Algorithm for the Single Machine Total Tardiness Maximization Problem into a Polynomial One // Ann. Oper. Res. 2012. V. 196. No. 1. P. 247–261.
6. *Gafarov E.R., Lazarev A.A., Werner F.* A Note on a Single Machine Scheduling Problem with Generalized Total Tardiness Objective Function // Inform. Process. Lett. 2012. V. 112. No. 3. P. 72–76.

7. *Gafarov E.R., Dolgui A., Werner F.* A New Graphical Approach for Solving Single Machine Scheduling Problems Approximately // *Int. J. Product. Res.* 2014. V. 52. No. 13. P. 3762–3777.
8. *Гафаров Е.Р., Долгий А.Б., Лазарев А.А. и др.* Модификация метода динамического программирования для решения задачи об инвестициях // *АиТ.* 2016. № 9. С. 150–166.

*Статья представлена к публикации членом редколлегии А.А. Лазаревым.*

Поступила в редакцию 04.02.2016